

## تولید و بررسی تشکیل فازها در کامپوزیت درجای $Al/(Al_2O_3+Al_xV_y+Al_aNi_b)$

فاطمه میرعرب شاهی<sup>۱</sup>، علیرضا مشرقی<sup>۲\*</sup>

۱- دانشجوی کارشناسی ارشد، مهندسی معدن و متالورژی، دانشگاه بیزد، بیزد

۲- دانشیار، مهندسی معدن و متالورژی، دانشگاه بیزد، بیزد

\*بیزد، صندوق پستی ۷۴۱-۸۹۱۸۵ ، amashreghi@yazd.ac.ir

### چکیده

در این پژوهش تولید کامپوزیت  $Al/(Al_2O_3+Al_xV_y+Al_aNi_b)$  به روش فعال سازی مکانیکی- حرارتی، در سیستم  $Al-V_2O_5-NiO$  مورد مطالعه قرار گرفت. بدین منظور مخلوط پودرهای  $Al, V_2O_5, NiO$  با دو نسبت وزنی مختلف ( $P_0: Al-18.9 V_2O_5-7.9NiO$  و  $P_1: Al-13.3V_2O_5-5.6NiO$ ) تحت آسیاکاری و سپس تراکم قرار گرفتند. جهت بررسی دماهای وقوع تحولات فازی از آنالیز حرارتی افترآقی استفاده شد. نمونه های خام با توجه به دمای پیک واکنش ها در آنالیز حرارتی افترآقی، تتجوشتی شدند. نمونه های خام  $P_0$  در دماهای ۷۲۵، ۷۷۰، ۷۷۰ و ۹۵۰ درجه سانتیگراد و نمونه های خام  $P_1$  در دماهای ۷۲۵، ۷۳۰ و ۹۶۰ درجه سانتیگراد حرارت داده شدند. نتایج آنالیز XRD و بررسی ریزساختاری پس از تتجوشتی نمونه ها در دمای ۹۶۰ نشان داد که فازهای  $Al_3V, Al_2V_3, \alpha-Al_2O_3, Al_2V_3$  در هر دو نمونه به عنوان تقویت کننده تشکیل شده است. با این تفاوت که در نمونه  $P_0$ ، فاز  $AlNi$  و در نمونه  $P_1$  فاز  $Al_4Ni_3$  وجود دارد. بررسی های سختی و چگالی نیز نشان دهنده افزایش این دو پارامتر با افزایش درجه حرارت پخت و افزایش درصد تقویت کننده می باشد. مقادیر سختی و چگالی در نمونه  $P_0$  نسبت به  $P_1$  به دلیل وجود ترکیبات بین فلزی بیشتر می باشد.

### اطلاعات مقاله

دریافت: ۹۵/۶/۲۹

پذیرش: ۹۵/۱۱/۲۰

### کلیدواژه‌گان:

کامپوزیت درجا

تفویت کننده

ترکیبات بین فلزی و سرامیکی

سنتر احرافی

## Fabrication and phases study in $Al/(Al_2O_3+Al_xV_y+Al_aNi_b)$ in situ composite

Fateme Mirarabshahi, Alireza Mashreghi\*

Department of Mineral and Material Engineering, Yazd University, Yazd, Iran  
\* P.O.B. 741-89195 Yazd, Iran, amashreghi@yazd.ac.ir

### Keywords

In-Situ Composite  
Reinforcement  
Intermetallic and ceramic compounds  
Combustion Synthesis

### Abstract

In present study, production of  $Al/(Al_2O_3+Al_xV_y+Al_aNi_b)$  composite in  $Al-V_2O_5-NiO$  system with thermomechanical activation method has been investigated. For this purpose, the mixing of  $Al$ ,  $V_2O_5$  and  $NiO$  powders with two different weight fraction ( $P_0$ :  $Al-18.9 V_2O_5-7.9NiO$ ,  $P_1$ :  $Al-13.3V_2O_5-5.6NiO$ ) were grinded and densification was occurred. Differential thermal analysis method was used to investigation of phase transitions. Heat treatments was conducted on the raw compereest silenderical samples due to the peak temperature of the reactions,  $P_0$  raw samples heated at temperatures of 725, 770 and 950 °C and  $P_1$  raw samples at temperatures of 725, 830 and 960 °C. XRD analysis and the microstructure of the sintered samples at temperature of 960 showed that the phases  $Al_3V$ ,  $Al_2V_4$ ,  $\alpha-Al_2O_3$ ,  $Al_2V_3$  in both sample as reinforcement is formed.in this temperature. The difference between  $P_0$  and  $P_1$  samples is that in the  $P_0$ ,  $AlNi$  phase and in  $P_1$   $Al_4Ni_3$  phase formed. Studies also show that by increasing temperature we have increase in the hardness and density. In  $P_0$ , hardness and density values in this sample where much more than of  $P_1$ .

### ۱- مقدمه

در کامپوزیت‌های زمینه فلزی گستره وسیعی از فلزات و آلیاژها مانند آلیاژهای آلومینیوم، آلیاژهای مس، چدن، فولاد، آلیاژهای منیزیم، سوپرآلیاژهای پایه نیکل، آلیاژهای تیتانیوم، آلیاژهای روی و غیره کاربرد دارند. استحکام، سختی و سایر خواص مکانیکی آلومینیوم نسبت به فلزاتی چون آهن، نیکل و تیتانیوم ضعیفتر می باشد. لذا از آلومینیوم صرفا به صورت آلیاژی یا زمینه کامپوزیت و یا از ترکیبی از این دو استفاده می شود تا از خواص مکانیکی بهتری برخوردار باشد. بر همین اساس کامپوزیت‌های زمینه

فلزی<sup>۱</sup> و بخصوص کامپوزیت‌های زمینه آلومینیوم<sup>۲</sup> طی دو دهه گذشته بسیار مورد توجه قرار گرفته است [۱-۲].

ترکیباتی که در زمینه آلومینیوم به عنوان تقویت کننده استفاده می شوند، عمولاً ترکیبات اکسیدی، کاربیدی، نیتریدی و یا بین فلزی‌ها هستند. مهمترین مشکل این گونه کامپوزیت‌ها فقدان پیوندهای مناسب در فصل مشترک زمینه و تقویت کننده است. برخی تقویت کننده‌ها عموماً تطابق خوبی با زمینه فلزی ندارند که باعث پیوندهای ضعیف در فصل مشترک و در نهایت کاهش خواص مکانیکی و افزایش حساسیت به خوردگی

<sup>1</sup> Metal matrix composite(MMC)

<sup>2</sup> Aluminium matrix composite(AMC)

Please cite this article using:

Mirarabshahi, F. and Mashreghi, A., "Fabrication and phases study in  $Al/(Al_2O_3+Al_xV_y+Al_aNi_b)$  in situ composite", In Persian, Journal of Science and Technology of Composites, Vol. 4, No. 3, pp. 303-310, 2017.

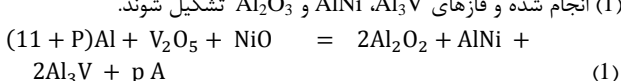
برای ارجاع به این مقاله از عبارت زیر استفاده نمایید:

فاز  $V$  را به صورت درجا تولید کرد. در این تحقیق اثر تغییر دمای مذاب آلمینیوم و همچنین درصد وانادیوم در مخلوط پودری را بررسی کردند و متوجه شدند که دماهای بالای مذاب آلمینیوم باعث تشکیل اکسید آلمینیوم شده و میزان فاز  $V$   $Al_3$  کمتر می‌شود. همچنین آنها دریافتند که هرچه درصد وانادیوم در مخلوط پودری آسیا شده افزایش یابد، میزان فاز  $V$  و سختی نمونه‌های تولیدی نیز افزایش می‌یابد [21].

آلومینیوم خالص تنها به روش کارستختی می‌تواند افزایش استحکام پیدا کند ولی استفاده از این روش فقط مخصوص قطعات کاربیدی است. یکی از روشهایی که می‌تواند باعث افزایش استحکام آلمینیوم شود، تولید کامپوزیت آلمینیوم می‌باشد که در این حالت آلمینیوم به وسیله ذرات سخت اکسیدی، کاربیدی یا ترکیبات بین فلزی استحکام می‌یابد. در این پژوهش سعی شده است، کامپوزیت  $Al_2O_3+Al_xV_y+Al_aNi_b$  تولید و ضمن بررسی خواص آن، تشکیل فازها در آن نیز بررسی گردد. ضمناً کامپوزیت آلمینیوم با فازهای فوق تاکنون گزارش نشده است.

## ۲- مواد و روش تحقیق

جهت تولید کامپوزیت  $Al_3V/Al_2O_3/Al_3Ni_2$  پودرهای آلمینیوم (با خلوص 99.5 درصد و میانگین اندازه ذرات 45 میکرون)، اکسید وانادیوم (با خلوص 99.2 درصد و میانگین اندازه ذرات 120 میکرون) به همراه اکسید نیکل (با خلوص 99.5 درصد با میانگین اندازه ذرات 20 میکرون) به عنوان مواد خام مورد استفاده قرار گرفت. به منظور ایجاد یک مخلوط همگن و فعال‌سازی شده، پودرها مطابق با رابطه (1)، در آسیای گلوله ای سیارهای با محفظه تلفونی و گلوله‌های فولادی با قطر 20 میلیمتر، تحت گاز آرگون به مدت زمان یک ساعت آسیاکاری شدند. انتظار می‌رود که در ترکیبات فوق واکنش (1) انجام شده و فازهای  $Al_3V$ ,  $Al_2O_3$  و  $AlNi$  تشکیل شوند.



در این پژوهش در راستای بررسی کسر حجمی ذرات بر خواص فیزیکی و مکانیکی از دو ترکیب  $P_0=15$  و  $P_1=30$  استفاده شده است که درصد وزنی فازها بصورت زیر می‌باشد  $P_0=15(Al-18.9 V_2O_5-7.9NiO)$  و  $P_1=30(Al-13.3 V_2O_5-5.6 NiO)$  استفاده شده است.

در طی آسیاکاری نسبت وزنی گلوله به پودر 4 به 1 و سرعت دورانی 250 دور بر دقیقه در نظر گرفته شد [23,22]. پارامترهای موثر در فرآیند آسیاکاری (زمان آسیاکاری، نسبت گلوله به پودر، اندازه گلوله‌ها، سرعت محفظه آسیاکاری و غیره) به گونه‌ای انتخاب گردید تا از انجام واکنش احتراق در محفظه آسیا جلوگیری به عمل آید تا تاثیر دما در مراحل مختلف تشکیل این کامپوزیت بررسی گردد.

جهت بررسی دماهای استحاله و پیش‌بینی دمای واکنش‌ها، آزمون آنالیز حرارتی با استفاده از دستگاه Bahr Thermoanalyse مدل STA504 (STA504) از دمای محیط تا دمای حدود  $1200^{\circ}C$ ، تحت گاز آرگون و سرعت گرم کردن  $10^{\circ}C/min$  بر روی مقداری پودر آسیاکاری شده به وزن 100 میلی گرم انجام شد. مخلوط پودر به دست آمده از آسیاکاری تحت فشار 300 مگاپاسکال متراکم شد تا نمونه‌های استوانه ای با قطر 12 و ضخامت 5 میلیمتر ساخته شود. نمونه‌های خام بعد از پرس سرد، در کوره لوله ای تحت اتمسفر آرگون و با سرعت  $10^{\circ}C/min$  تا دمای مورد آزمایش گرم شدند و به مدت 20 دقیقه در آن دما نگهداری شدند.

می‌شود. افزودن ترکیبات بین فلزی به عنوان تقویت کننده، به علت سختی بسیار بالای آنها و قابلیت سازگاری‌شان مفید است. همچنین مقاومت به خوردگی و رفتار سایشی نیز بهبود می‌یابد که تمام این پدیده‌ها مربوط به فصل مشترک زمینه و تقویت کننده است [3].

کامپوزیت‌های تولید شده به روش درجا دسته جدیدی از کامپوزیت‌ها هستند که از پایداری شیمیایی بالایی برخوردار بوده و برای کاربردهای پیشرفت‌های سازه‌ای و سایش بسیار مناسب می‌باشند [4-10]. در این روش ذرات فاراهای تقویت کننده توسط واکنش‌های شیمیایی تولید می‌شود. کامپوزیت‌های درجا نسبت به غیردرجا مزایای جذابی دارند که عبارتند از:

- پایداری ترمودینامیکی تقویت کننده‌ها که منجر به افت کمتر خواص مکانیکی در دماهای بالا می‌گردد.
- تمیز بودن فصل مشترک زمینه با تقویت کننده‌ها که سبب بهبود استحکام فصل مشترک می‌شود.
- ریز بودن و پراکندگی یکنواخت ذرات تقویت کننده که منجر به خواص مکانیکی برتر در این نوع کامپوزیت می‌شود. علاوه بر این فرآیند درجا از لحاظ جنبه‌های اقتصادی یک روش مقرر به صرفه است، بنابراین مزایای قابل توجهی را جهت تولید مواد کامپوزیتی ارائه می‌دهد [11].

روش‌های متفاوتی برای تولید کامپوزیت به روش درجا استفاده می‌شود که می‌توان به یکی از آنها، فرآیند سنتز احتراقی است. فرآیند سنتز احتراقی که براساس خاصیت واکنش‌های گرمایزا عمل می‌کند، روشی جدید، اقتصادی و جالب جهت تولید محدوده وسیعی از مواد نظیر سرامیک‌های پیشرفت، ترکیبات بین فلزی و کامپوزیت‌ها می‌باشد [12-17].

تا به حال کامپوزیت‌های درجا آلمینیومی با ذرات تقویت کننده سیاری از جمله  $Al_2O_3$ ,  $Al_3V$ ,  $Al_2Al_3$ ,  $Al_3Zr$  و  $TiO_2$  به روش‌های متعدد به صورت درجا تولید شده اند که هر کدام خواص و ویژگی‌های خاص خود را داشته اند.

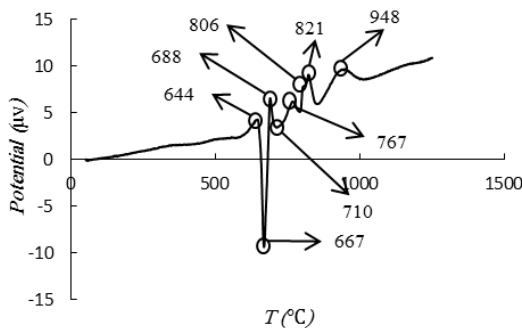
ترکیبات آلمینیات نیکل از جمله ترکیباتی هستند که به دلیل نقطه ذوب بالا دانسته نسبتاً پایین، استحکام بالا و همچنین مقاومت به خوردگی و اکسیداسیون بالا مطرح هستند. اولین پژوهش در زمینه تولید ترکیبات آلمینیات نیکل توسط ایوانو<sup>1</sup> و همکارانش انجام شد. که توسط آلیاژسازی مکانیکی فاز  $NiAl$  با آزادسازی انرژی ذخیره شده حین آسیاکاری، تولید شد [18].

در تحقیقی دیگر، انوری و همکارانش از آسیاکاری مخلوط پودری  $Al$ ,  $NiO$  و  $Ni$  در مدت زمان‌های آسیاکاری متفاوت، فاز  $Al_2O_3$  و  $Al$  و  $NiAl$  را بدست آورند. در این تحقیق اثر مدت زمان آسیاکاری بر اندازه فازهای تشکیل شده بررسی شد و دیده شد که با افزایش مدت زمان آسیاکاری، اندازه ذرات تشکیل شده کاهش یافته است [19].

کامپوزیت تولید شده از  $Al$  و  $V$  دارای خصوصیاتی از جمله فازهای بین فلزی پایدار با ساختار تتراگونال و داکتیلیته کم، می‌باشند. در پژوهشی پژوهشی  $Al_3V$  و همکارانش فاز  $Al_3V$  را با استفاده از آسیاکاری پودر  $V_2O_5$  و  $Al$  تولید کردند. در این تحقیق اثر زمان آسیاکاری را بر میزان فاز  $Al_3V$  و اندازه ذرات این فاز بررسی کردند. آنها با افزایش زمان آسیاکاری فاز  $Al_3V$  ریزتری را به دست آورند [20].

در پژوهشی دیگر، عبد الناصر<sup>2</sup> و همکارانش با آسیاکاری پودرهای  $Al$ ,  $V_2O_5$  به مدت 6 ساعت و اضافه کردن مخلوط پودری به مذاب آلمینیوم،

<sup>1</sup> Ivanov<sup>2</sup> Abdel-Nasser

Fig. 2 differential thermal analysis for  $P_1$  sampleشکل ۲ آنالیز حرارتی افتراقی نمونه  $P_1$ 

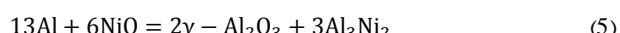
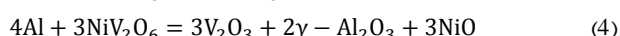
شکل ۳-A الگوی پراش اشعه ایکس نمونه  $P_0$  پس از آسیاکاری را نشان می‌دهد. این پراش نشان می‌دهد که هیچ فازی در حین آسیاکاری تشکیل نشده است که دلیل آن می‌تواند پارامترهای وابسته به آسیاکاری مانند زمان آسیاکاری، نوع آسیا، سرعت دورانی، نسبت وزنی گلوله به پودر و درصد نسبی واکنش دهنده‌ها و غیره باشد. فرآیند آسیاکاری جهت همگن کردن پودر و فعال سازی مخلوط پودرهای واکنش دهنده صورت گرفت. لذا هیچ واکنشی تحت شرایط آسیاکاری رخ نداد و دلیل آن هم مقدار انرژی کم انتقال یافته به ذرات پودر، به علت کوچک بودن انرژی جنبشی گلوله‌ها قبل از برخورد است.

در شکل ۳-B الگوی پراش اشعه ایکس نمونه  $P_0$  پس از حرارت دادن در دمای 725 درجه سانتیگراد را نشان می‌دهد. در آنالیز حرارتی افتراقی سه پیک گرمaza در درجه حرارت‌های 600، 626 و 711 درجه سانتیگراد دیده می‌شود. پیک مشاهده شده در دمای 600 و 626 درجه سانتیگراد به ترتیب مربوط به تشکیل فازهای  $\text{Ni}_2\text{V}_2\text{O}_6$  و  $\text{Ni}_2\text{V}_2\text{O}_7$  می‌باشد [27]. که این دو فاز طی واکنش (2) و (3) ایجاد می‌شوند. درجه حرارت 711 درجه سانتیگراد مربوط به انجام واکنش‌های (4) و (5) و تشکیل فاز  $\text{Al}_3\text{Ni}_2$  و می‌باشد.

در شکل ۳-C الگوی پراش اشعه ایکس نمونه  $P_0$  پس از حرارت دادن در دمای 770 درجه سانتیگراد دیده می‌شود. در این شکل فازهای دمای قبلی وجود دارد به جز اینکه به جای فاز  $\text{Al}_3\text{Ni}_2$   $\text{Al}_4\text{Ni}_3$  تشکیل شده است. این فاز می‌تواند مطابق واکنش (6) ایجاد شده باشد.



در این درجه حرارت شدت پیک‌های مربوط به فاز  $\text{V}_2\text{O}_3$  نسبت به دمای قبل تغییری نکرده است. می‌توان متوجه شد که انجام احیای اکسید وانادیوم ( $\text{V}_2\text{O}_5$ ) و تشکیل فاز  $\text{V}_2\text{O}_3$  به طور کامل صورت گرفته و اکسید وانادیوم دارای اندازه تقریباً یکسانی بوده و تماماً به  $\text{V}_2\text{O}_3$  در دمای 725 درجه سانتیگراد تبدیل شده است. در این دما به دلیل انجام واکنش (6) اولاً شدت پیک مربوط به آلومنیوم بیشتر شده، ثانیاً شدت دو فاز  $\text{Al}_3\text{Ni}_2$  و  $\text{Al}_4\text{Ni}_3$  کمتر شده است.



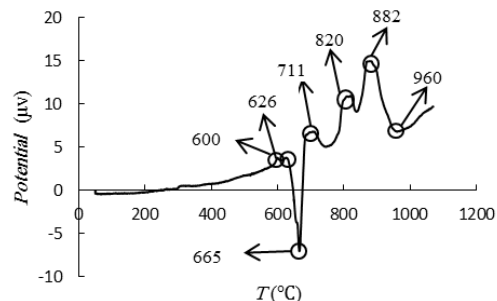
تغییرات فازی نمونه‌ها پس از حرارت دادن در دمای مختلف با استفاده از دستگاه پراش پرتوایکس (مدل Philips PW3040) مجهز به تولید کننده پرتو  $\text{Cu}-\text{K}\alpha$  و با ولتاژ شتاب دهنده 40KV و جریان 20mA بررسی شد. این آنالیز با گام 0.02 درجه و زمان نگهداری 1 ثانیه در هر گام در گستره تفرق از زاویه 10 تا 80 درجه بررسی شد. همچنین ریزساختار نمونه‌ها نیز با میکروسکوپ‌های نوری و الکترونی رویشی (مدل Phenom pro X) (2013) مجهز به آنالیزگر تفکیک انرژی (EDS) در ولتاژ 15KV مورد بررسی قرار گرفت. آزمون سختی سنجی به روش ویکرز و با نیروی اعمالی 10 کیلوگرم و از میانگین 6 اندازه گیری برای هر نمونه توسط دستگاه Instron wolpert تعیین گردید. چگالی نمونه‌ها به روش ارشمیدس مطابق با استاندارد ASTM C373 اندازه گیری شد [24].

### ۳- نتایج و بحث

#### ۱-۳- مکانیزم تولید

منحنی آنالیز حرارتی افتراقی (DTA) به دست آمده از حرارت دهی نمونه  $P_0$  و  $P_1$  به ترتیب تا دمای 1050 و 1250 درجه سانتیگراد در شکل‌های 1 و 2 دیده می‌شود. در شکل 2 پنج پیک گرمaza در دمای 665، 626، 820 و 882 درجه سانتیگراد و همچنین یک پیک گرمaga در دمای 948 درجه سانتیگراد دیده می‌شود. در شکل 2 منحنی دارای پنج پیک گرمaza در دمای 644، 711، 767، 688 و 821 درجه سانتیگراد و دو پیک گرمaga در دمای 667 و 711 درجه سانتیگراد می‌باشد. وجود پیک‌های گرمaza بیانگر وقوع واکنش‌های متعدد و تشکیل فازها و ترکیبات میانی و انتقالی در حین تحولات ساختاری این کامپوزیت است. اولین پیک گرمaga در دو نمودار را با توجه به مشخصات فیزیکی مخلوط‌ها و همچنین پژوهش‌های مشابه مورد بررسی، می‌توان به ذوب آلومنیوم [25] و ذوب اکسید وانادیوم باقی مانده بعد از دو واکنش گرمaza قبل از داد. نقطه ذوب آلومنیوم، 660 و نقطه ذوب اکسید وانادیوم 670 درجه سانتیگراد می‌باشد [26]. دومین پیک گرمaga در هر دو نمودار مربوط به ذوب یکی از ترکیبات بین فلزی می‌باشد که در ادامه بحث می‌شود. در هر دو شکل 1 و 2 یک روند افزایشی در راستای گرمaza دیده می‌شود. لذا انتظار می‌رود در طی گرم شدن یک واکنش پیوسته گرمaza رخ دهد.

شکل 3 مربوط به الگوی پراش پرتوی ایکس برای نمونه آسیاکاری شده  $P_0$  و همچنین نمونه‌های تفحوشی شده آن در دمای مختلف می‌باشد. جدول 1 مشخص کننده تمام فازهای مشاهده شده در نمونه  $P_0$  پس از تفحوشی در دمای مختلف می‌باشد.

Fig. 1 differential thermal analysis for  $P_0$  sampleشکل ۱ آنالیز حرارتی افتراقی نمونه  $P_0$

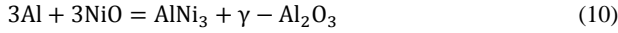
جدول ۱ فازهای مشاهده شده پس از حرارت دادن نمونه P<sub>0</sub> در درجه حرارت های مختلف

**Table 1** Different phases of P<sub>0</sub> after heating in different degree

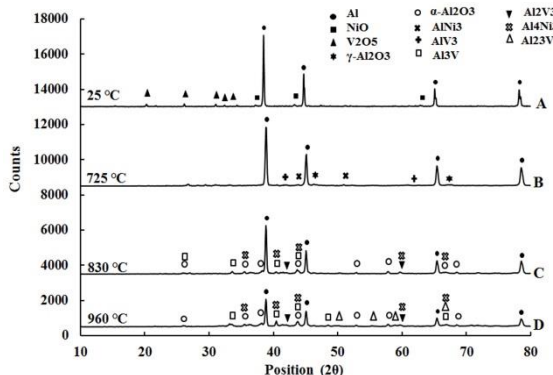
درجه حرات پخت (°C)	فازهای بین فلزی مشاهده شده
	پس از آسیاکاری
725	Al + V <sub>2</sub> O <sub>5</sub> + NiO + Al <sub>3</sub> Ni <sub>2</sub> + γ-Al <sub>2</sub> O <sub>3</sub>
780	Al + V <sub>2</sub> O <sub>3</sub> + Al <sub>4</sub> Ni <sub>3</sub> + γ-Al <sub>2</sub> O <sub>3</sub>
950	Al + Al <sub>3</sub> V + Al <sub>2</sub> V <sub>3</sub> + Al <sub>23</sub> V <sub>4</sub> + AlNi + α-Al <sub>2</sub> O <sub>3</sub>

همچنین جدول ۲ تمام فازهای بین فلزی پس از تجوشی نمونه های P<sub>1</sub> را نشان می دهد. شکل ۴-A الگوی پراش اشعه ایکس نمونه پس از آسیاکاری را نشان می دهد. همانند شکل ۳-A هیچ فازی در طی آسیاکاری تشکیل نشده است.

در شکل B-4 الگوی پراش اشعه ایکس نمونه P<sub>1</sub> پس از حرارت دادن در دمای 725 درجه سانتیگراد دیده می شود. در این شکل فازهای AlV<sub>3</sub>, AlNi<sub>3</sub>, γ-Al<sub>2</sub>O<sub>3</sub> و Al دیده می شوند. در آنالیز حرارتی افتراقی برای این نمونه دو پیک گرمایزا و یک پیک گرمایگر به ترتیب در دماهای 644 و 667 درجه سانتیگراد دیده می شود که پیکهای گرمایزا مربوط به تشکیل ترکیبات بین فلزی AlNi<sub>3</sub> و AlV<sub>3</sub> بوده و پیک گرمایگر به دلیل ذوب آلومینیوم و اکسید وانادیوم می باشد. در این درجه حرارت دو واکنش (9) و (10) انجام می شود.



در این نمونه دو اکسید نیکل و وانادیوم به طور کامل احیا شده و فازهای بین فلزی AlNi<sub>3</sub> و AlV<sub>3</sub> تشکیل می شوند. شدت پیک آلومینیوم نسبت به شکل ۵-A کمتر شده است که به دلیل انجام واکنش های (9) و (10) در نمودار آنالیز حرارتی افتراقی در درجه حرارت 710 درجه می باشد. در نمودار آنالیز حرارتی افتراقی در درجه حرارت 710 درجه می باشد. سانتیگراد دیده می شود که بنا بر بررسی های انجام شده نقطه ذوب این فازها مربوط به ذوب AlV<sub>3</sub> می باشد.

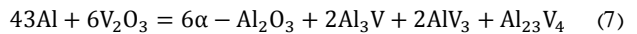
**Fig. 4** XRD diagram of P<sub>1</sub> sample heating in different temperature

شکل ۴ الگوی پراش اشعه ایکس نمونه P<sub>1</sub> پس از حرارت دادن در دماهای مختلف

در این نمونه در حدود دمای 600 درجه سانتیگراد همانند نمونه P<sub>0</sub> فاز Ni<sub>2</sub>V<sub>2</sub>O<sub>6</sub>, Ni<sub>2</sub>V<sub>2</sub>O<sub>7</sub> وجود ندارد که به دلیل داشتن آلومینیوم اضافی می باشد. که فاز کمپلکسی از اکسیدها تشکیل نمی شود.

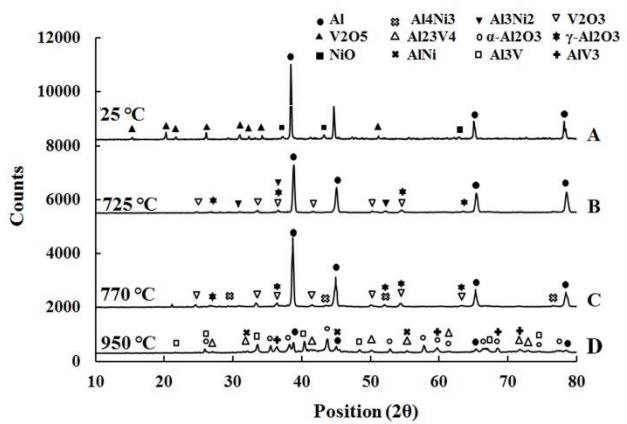
Al<sub>4</sub>Ni<sub>3</sub> یکسان و ثالثاً شدت پیک اکسید آلومینیوم نسبت به دمای قبل نیز یکسان می باشد.

الگوی پراش اشعه ایکس نمونه P<sub>0</sub> پس از حرارت دادن در دمای 950 درجه سانتیگراد در شکل 3-D با فازهای Al, Al<sub>2</sub>O<sub>3</sub>, AlNi, Al<sub>23</sub>V<sub>4</sub> و Al دیده می شود. در آنالیز حرارتی افتراقی نمونه P<sub>0</sub> دو پیک گرمایزا بعد از درجه حرارت 770 درجه سانتیگراد دیده می شود که در 820 و 882 درجه سانتیگراد واقع شده است. به نظر می رسد پیک گرمایی مشاهده شده در دمای 820 مربوط به تشکیل فاز Al<sub>4</sub>Ni<sub>3</sub> باشد که مقداری از این فاز در درجه حرارت 770 درجه سانتیگراد تشکیل شده است. در آنالیز حرارتی افتراقی این نمونه در شکل 1 دیده می شود که تشکیل این فاز از دمای 745 درجه سانتیگراد شروع شده و در دمای 820 درجه سانتیگراد به میزان حداقل خود رسیده است و میزان گرمای بیشتری را در این دما آزاد کرده است. البته در شکل 3-D فازهای Al<sub>3</sub>V, AlNi, AlV<sub>3</sub>, Al<sub>23</sub>V<sub>4</sub> شده در دماهای 820 و 882 درجه سانتیگراد ممکن است برای تشکیل یکی از این فازها یا چند فاز با هم باشد. به نظر می رسد واکنش تشکیل فاز Al<sub>4</sub>Ni<sub>3</sub> در این دماها کامل شده باشد.



تحول تبدیل فاز γ-Al<sub>2</sub>O<sub>3</sub> به فاز α-Al<sub>2</sub>O<sub>3</sub> پیوسته بوده و در دمای 950 درجه سانتیگراد قابل تشخیص می باشد. فاز α-Al<sub>2</sub>O<sub>3</sub> که با نام کوراندوم نیز شناخته می شود پایدارترین شکل آلوتروپیک از اکسیدهای آلومنیوم می باشد. در دماهای نزدیک 7/9 γ-Al<sub>2</sub>O<sub>3</sub> در دمای پایین راحت تر از α-Al<sub>2</sub>O<sub>3</sub> شکل آلومنیوم می گیرد که علت آن را می توان به ساختار کریستالی معکبی با پارامتر شبکه آنگستروم این فاز نسبت داد [28]. اما به عنوان یک فاز انتقالی اکسید آلومینیوم، ناپایدار است و به راحتی در دماهای نزدیک 1000 درجه سانتیگراد به α-Al<sub>2</sub>O<sub>3</sub> تبدیل می شود. اما به علت ماهیت گرمایی واکنش آلومنیوم با اکسیدهای وانادیوم، استحاله γ به α در دمای پایین نیز انجام شده است.

شکل ۴ مربوط به الگوی پراش اشعه ایکس برای نمونه P<sub>1</sub> بعد از آسیاکاری و همچنین نمونه های تجوشی شده در دماهای ذکر شده را نشان می دهد.

**Fig. 3** diagram of XRD analysis for P<sub>0</sub> in different degrees

شکل ۳ الگوی پراش اشعه ایکس نمونه P<sub>0</sub> پس از حرارت دادن در درجه حرارت های مختلف

فرامه شده و به دلیل کاهش انرژی سطحی به فرم میله ای درون زمینه تشکیل شده اند. فازهای مشخص شده پس از آنالیز EDS در جدول 3 دیده می شود. همینطور که در آنالیز EDS از این تصویر مشخص است، زمینه دارای ساختار مورد نظر اکسید آلومینیوم و ترکیبات بین فلزی موردنظر در این دما همانند پیکهای نشان داده شده در الگوی پراش اشعه ایکس فازهای همواره مقداری آلومینیوم بیشتر از درصد فاز مورد نظر را نشان می دهد. دیده می شود نقاط 1 و 4 دارای رنگ مشابه هستند که به دلیل یکسان بودن عدد اتمی آنها می باشد.

#### ب- نمونه $\text{P}_1$

در شکل 7 تصویر میکروسکوپ الکترونی روبشی دیده می شود. در این تصویر همانند شکل 8 سه ناحیه خاکستری و سفید و سیاه دیده می شود. درون نواحی خاکستری فازهای بسیار ریز بین فلزی با رنگ سفید مشخص شده اند و به علاوه درون نواحی سفید نیز فازهایی به صورت میله ای با رنگ سفیدتر از زمینه مشخص می شوند، فاز میله ای همان فاز  $\text{Al}_{23}\text{V}_4$  می باشد که در الگوی پراش اشعه ایکس پس از حرارت دادن نمونه تا درجه حرارت 960 درجه سانتیگراد دیده شده است و این فاز درون فاز بین فلزی  $\text{Al}_2\text{V}_3$  تشکیل شده است. فازهای مشاهده شده پس از آنالیز EDS در جدول 4 دیده می شود.

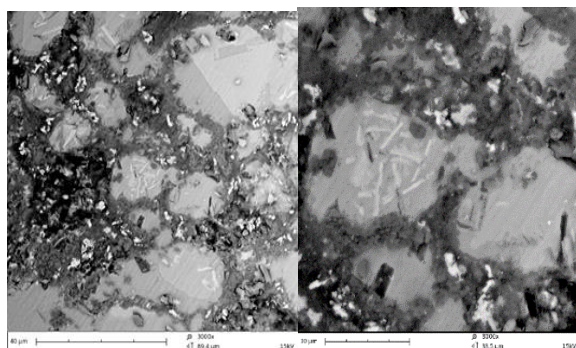


Fig. 5 SEM of  $\text{P}_0$  sample after heating at 950°C

شکل ۵ تصویر میکروسکوپ الکترونی روبشی از نمونه  $\text{P}_0$  پس از حرارت دادن در دمای 950 درجه سانتیگراد در بزرگنمایی های مختلف

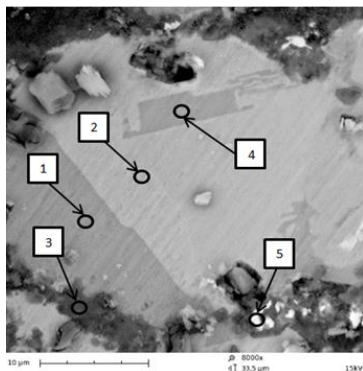


Fig. 6 EDS analysis of  $\text{P}_0$  sample after heating at 950°C

شکل ۶ آنالیز EDS از نمونه  $\text{P}_0$  پس از حرارت دادن در درجه حرارت 950 درجه سانتیگراد

الگوی پراش اشعه ایکس نمونه  $\text{P}_1$  پس از حرارت دادن در دمای 830 درجه سانتیگراد در شکل C-4 با فازهای  $\alpha\text{Al}_2\text{O}_3$ ,  $\text{Al}_2\text{V}_3$ ,  $\text{Al}_3\text{V}$ ,  $\text{Al}_4\text{Ni}_3$  و  $\text{Al}$  دیده می شود. در این شکل، دو فاز بین فلزی  $\text{AlNi}_3$  و  $\text{AlV}_3$  به فازهای  $\text{Al}_4\text{Ni}_3$  و  $\text{Al}_2\text{V}_3$  و  $\text{Al}_3\text{V}$  تبدیل شده اند که به دلیل درجه حرارت بالاتر و در نتیجه شدت نفوذ بیشتر آلومینیوم به داخل فازهای قبلی موجب تشکیل فاز جدید با میزان آلومینیوم بیشتر می شود.



در آنالیز حرارتی افترacci نمونه  $\text{P}_1$  سه پیک گرمaza در دماهای 767 و 806 و 821 درجه سانتیگراد دیده می شود که به دلیل تشکیل ترکیبات بین فلزی ذکر شده می باشد. در این شکل تحول تبدیل فاز  $\gamma\text{-Al}_2\text{O}_3$  به فاز  $\alpha\text{-Al}_2\text{O}_3$ -  $\text{Al}_3\text{V}$  اتفاق می افتد که تحولی پیوسته بوده و در دمای 830 درجه سانتیگراد قابل تشخیص می باشد.

در شکل 4-D الگوی پراش اشعه ایکس نمونه  $\text{P}_1$  پس از حرارت دادن در درجه حرارت 960 درجه سانتیگراد دیده می شود. در شکل 4-D فازهای  $\text{Al}$ ,  $\text{Al}_3\text{V}$ ,  $\alpha\text{-Al}_2\text{O}_3$ ,  $\text{Al}_2\text{V}_3$ ,  $\text{Al}_4\text{Ni}_3$ ,  $\text{Al}_{23}\text{V}_4$  به وسیله انجام واکنش (13) از فاز  $\text{Al}_3\text{V}$  تشکیل می شود. در این شکل شدت فاز  $\text{Al}_3\text{V}$  و آلومینیوم کمتر شده است و دیگر فازها دارای شدت یکسانی با درجه حرارت قبل می باشند.



جدول ۲ فازهای بین فلزی مشاهده شده در نمونه  $\text{P}_1$  پس از حرارت دادن در درجه حرارت های مختلف

Table 2 Intermetallic phases in  $\text{P}_1$  sample after heating in different degree

درجه حرارت پخت (°C)	فازهای مشاهده شده
	پس از آسیاکاری
725	$\text{Al} + \text{V}_2\text{O}_5 + \text{NiO}$
830	$\text{Al} + \text{AlV}_3 + \text{AlNi}_3 + \gamma\text{-Al}_2\text{O}_3$
830	$\text{Al} + \text{Al}_3\text{V} + \text{Al}_2\text{V}_3 + \text{Al}_4\text{Ni}_3 + \alpha\text{-Al}_2\text{O}_3$
960	$\text{Al} + \text{Al}_3\text{V} + \text{Al}_2\text{V}_3 + \text{Al}_{23}\text{V}_4 + \text{Al}_4\text{Ni}_3 + \alpha\text{-Al}_2\text{O}_3$

#### ۲-۳- بررسی ساختاری $\text{P}_0$ -نمونه

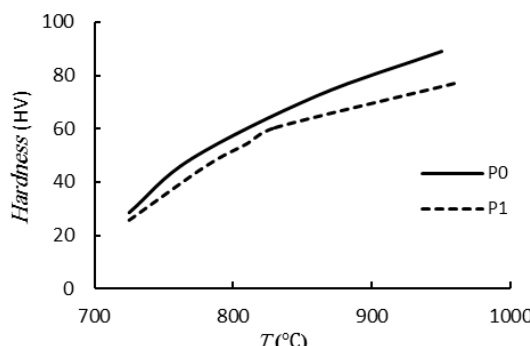
شکل 5 تصویر میکروسکوپ الکترونی روبشی ساختار کامپوزیت به دست آمده در دمای 950 درجه سانتیگراد را در دو بزرگنمایی مختلف نشان می دهد. در این تصویر زمینه خاکستری رنگ همراه با فاز سیاه و فاز سفیدی دیده می شود. فاز سیاه رنگ همان تخلخلها هستند که در تصویر میکروسکوپ نوری نیز به شکل نواحی سیاه رنگ دیده می شد. فاز سفید دارای طیفی از رنگ از خاکستری تا کاملا سفید است که ناشی از وجود فازهای متفاوت با عدد اتمی متفاوت در کنار هم می باشد. درون زمینه نیز فازهای خیلی ریزی (در حد تقریبا یک میکرون)، تشکیل شده است که این فازها به صورت پراکنده پخش شده اند. به علاوه درون رسوبات سفید رنگ، نواحی سفیدتری با شکل میله ای چشم می خورد. درون رسوبات سفید رنگ، نواحی سفیدتری با شکل میله ای دیده می شود. در این نواحی شرایط برای تشکیل فاز بین فلزی از طریق نفوذ

نمودار تغییرات سختی بر حسب دمای زینترینگ نمونه های آزمایش شده در این تحقیق برای دو ترکیب  $P_0$  و  $P_1$  در شکل 9 نشان داده شده است. همانطور که از شکل 9 مشخص می باشد، با افزایش درجه حرارت پخت به دلیل افزایش فازهای اکسیدی و بین فلزی که از زمینه سختی بسیار بالاتری دارند و کمتر شدن تخلخل، سختی در هر دو نمونه در حال افزایش می باشد. نمونه  $P_1$  به دلیل داشتن آلومینیوم بیشتر، دارای سختی کمتری نسبت به نمونه  $P_0$  می باشد.

روند افزایش سختی با افزایش درجه حرارت در کامپوزیت آلومینیوم-اکسید وانادیوم که توسط آقای آشناگر انجام شده است نیز مشاهده شده است [23].

جدول ۴ آنالیز EDS و فازهای مختلف در نمونه  $P_1$ Table 4 Different phases after EDS analysis in  $P_1$  sample

فار	آنالیز	شماره نقطه
$\text{Al}_3\text{V}$	68.72Al+31.28V	1
$\text{Al}_2\text{V}_3$	26.37Al+73.63V	2
$\text{Al}_{23}\text{V}_4$	79.52Al+30.48V	3
$\text{Al}_4\text{Ni}_3$	42.9Al+57.1Ni	4
$\alpha\text{-Al}_2\text{O}_3$	51.9Al+48.1O	5

Fig. 9 diagram of hardness unto temperature for  $P_0$ ,  $P_1$  samples

شکل ۹ نمودار سختی نمونه های  $P_0$  و  $P_1$  بر حسب درجه حرارت داده شده به نمونه

#### ۳- خواص فیزیکی

بررسی های چگالی نمونه های  $P_0$  و  $P_1$  در شکل 10 نشان داده شده است. از این نمودار متوجه می شویم که با افزایش درجه حرارت پخت در هر دو ترکیب  $P_0$  و  $P_1$  نیز افزایش می یابد که دلیل آن می تواند تشکیل فاز چگال تر باشد. دیده می شود که چگالی نمونه  $P_0$  از  $P_1$  بیشتر می باشد که به دلیل بیشتر بودن فاز بین فلزی که دارای سختی بالاتری از اکسید آلومینیوم هستند، در این ترکیب می باشد.

نمودار درصد تخلخل در دو نمونه در شکل 11 نشان داده شده است. طبق این نمودار تخلخل در دو نمونه با هم یکسان است و تفاوت چگالی در دو نمونه به چگالی ترکیبات موجود از جمله ترکیبات بین فلزی و میزان ترکیبات در نمونه بر می گردد.

روند افزایش چگالی و کاهش درصد تخلخل با افزایش درجه حرارت پخت در پژوهشی که توسط آقای صحرانزاد بر کامپوزیت آلومینیوم-آلومینیا انجام شده است نیز مشاهده شده است [29].

#### ۴- نتیجه گیری

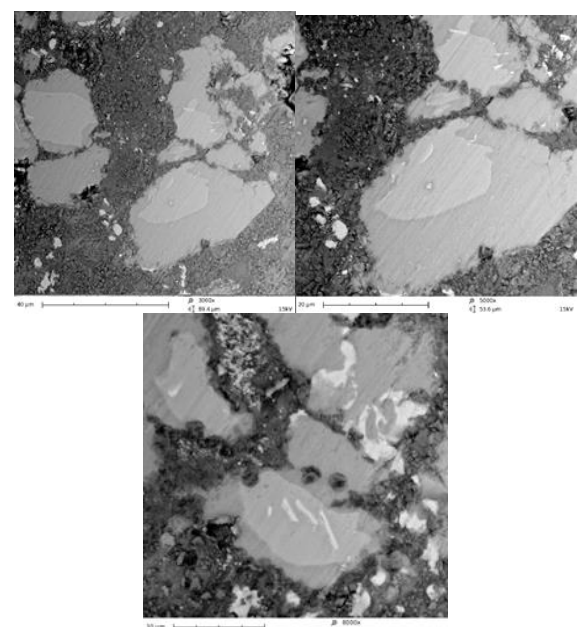
در پژوهش حاضر تولید کامپوزیت درجا به روش سنتز احترافی آلومینوترمیک در سیستم  $\text{Al}-\text{V}_2\text{O}_5-\text{NiO}$  مورد بررسی قرار گرفت. مهمترین نتایج

#### ۳- خواص مکانیکی

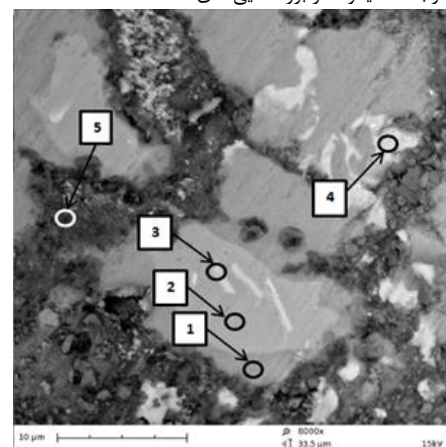
معمولًا مواد ساخته شده به روش متالورژی پودر دارای مقادیری تخلخل هستند که باعث سختی پایین تر آنها نسبت به نمونه بالک و پراکندگی زیاد در نتایج سختی سنجی می شود.

جدول ۳ فازهای مشاهده شده پس از اnaliz EDS نمونه  $P_0$ Table 3 Different phases after EDS of  $P_0$  sample

فاز	آنالیز	شماره نقطه
$\text{Al}_3\text{V}$	65.4Al+34.6V	1
$\text{Al}_{23}\text{V}_4$	82.1Al+27.9V	2
$\text{A-Al}_2\text{O}_3$	52.2Al+47.8O	3
$\text{AlNi}$	37.4Al+63.6Ni	4
$\text{AlIV}_3$	20Al+80V	5

Fig. 7 SEM photo of  $P_1$  sample after 960°C

شکل ۷ تصویر میکروسکوب الکترونی از نمونه  $P_1$  پس از حرارت دادن در درجه حرارت 960 درجه سانتیگراد در بزرگنمایی های مختلف

Fig. 8 EDS analysis of  $P_1$  sample after heating at 960 °C

شکل ۸ آنالیز EDS از نمونه  $P_1$  پس از حرارت دادن در درجه حرارت 960 درجه سانتیگراد

- [3] Torralba, J. M. Velasco, F. and Costa, C. E., "Mechanical Behavior of The Interphase Between Matrix and Reinforcement of Al 2014 Matrix Composites Reinforced With (Ni3Al)p", composites, Composites Part A: Applied Science and Manufacturing, Vol. 33, pp. 427-434, 2002.
- [4] Schaffer, G. B. and Hall, B. J., "The Influence of The Atmosphere on The Sintering of Aluminum", Metallurgical and Materials Transactions A, Vol. 33, pp. 3279-3284, 2002.
- [5] Yang, B. Chen, G. and Zhang, J., "Effect of Ti/C Additions on the Formation of  $\text{Al}_3\text{Ti}$  of in Situ  $\text{TiC}/\text{Al}$  Composites", Materials and Design, Vol. 22, pp. 645-650, 2001.
- [6] Zhao, D. G. Liu, Pan, X. F. and Y. C. Bian, "Microstructure and Mechanical Properties of in Situ Synthesized ( $\text{TiB}_2+\text{Al}_2\text{O}_3$ )/ $\text{Al}-\text{Cu}$  Composites", Journal of Materials Processing Technology, Vol. 189, pp. 237-241, 2007.
- [7] Zhou, Y. Yu, Z. Zhao, N., "Microstructure and Properties of in Situ Generated  $\text{MgAl}_2\text{O}_4$  Spinel Whisker Reinforced Aluminum Matrix Composites", Materials and Design, Vol. 46, pp. 724-730, 2013.
- [8] Zheng, R. and Yang, H., "Microstructure and Mechanical Properties of Aluminum Alloy Matrix Composites Reinforced With Fe-Based Metallic Glass Particles", Materials and Design, Vol. 53, pp. 512-518, 2014.
- [9] Zhang, L. Gan, G. S. and Yang, B., "Microstructure and Property Measurements on in Situ  $\text{TiB}_2/70\text{Si}-\text{Al}$  Composite for Electronic Packaging Applications", Materials and Design, Vol. 36, pp. 177-181, 2012.
- [10] Lekatou, A. Karantzalis, A. E. and Evangelou, A., "Aluminium Reinforced by WC and TiC Nanoparticles (ex-situ) and Aluminide Particles (in-situ): Microstructure Wear and Corrosion Behavior", Materials and Design, Vol. 65, pp. 1121-1135, 2015.
- [11] Zhong-Chun, C. Takenobu, T. and Keisuke, I., "Microstructural Evolution of Reactive-Sintered Aluminum Matrix Composites", Composites Science and Technology, Vol. 68, pp. 2245-2253, 2008.
- [12] Woo, K. Kim, J. and Kwon, E., "Fabrication of Al Matrix Composite Reinforced With Submicrometer- Sized  $\text{Al}_2\text{O}_3$  Particles Formed by Combustion Reaction Between HEMM Al and  $\text{V}_2\text{O}_5$  Composite Particles During Sintering" Metals and Materials International, Vol. 16, pp. 213-218, 2010.
- [13] Mousavian, R. T. Sharifi, S. and Shariat, M. H., "Microwave-Assisted Combustion Synthesis in a Mechanically Activated  $\text{Al}-\text{TiO}_2-\text{H}_3\text{BO}_3$  System", International Journal of Refractory Metals and Hard Materials, Vol.29, pp. 281-288, 2011.
- [14] Rosenband, V. Torkar, M. and Gany, A., "Self-Propagating High-Temperature Synthesis of Complex Nitrides of Intermetallics", Intermetallics, Vol. 14, pp 551-559, 2006.
- [15] Wang, L. and Arsenault, R. J., "Interfaces in XD Processed  $\text{TiB}_2/\text{NiAl}$  Composites", Metallurgical Transactions A, Vol.22A, pp. 3013-3018, 1991.
- [16] Dilip, J. J. S. Reddy, B. S. B. and Das, S., "Mechanical Thermal Synthesis of in Situ Al Based Hybrid Nanocomposites in  $\text{Al}-\text{Ni}-\text{Ti}-\text{O}$  System", Journal of Alloys and Compounds, Vol. 490, pp. 103-109, 2010.
- [17] Ai, T. T., "Microstructures and Mechanical Properties of in-Situ  $\text{Al}_2\text{O}_3/\text{TiAl}$  Composites by Exothermic Dispersion Method", Acta Metallurgica Sinica, Vol. 21, pp. 437-443, 2008.
- [18] Ivanov, E. and et al., "Synthesis of Nickel Aluminides by Mechanical Alloying", Materials Letters, Vol. 7, pp. 51-54, 1988.
- [19] Anvari, S. Z. Karimzadeh, F. and Enayati, M. H., "Synthesis and Characterization of  $\text{NiAl}-\text{Al}_2\text{O}_3$  Nanocomposite Powder by Mechanical Alloying", Journal of Alloys and Compounds, Vol. 477, pp. 178-181, 2009.
- [20] Yazdian, N. Karimzadeh, F. and Enayati, M. H., "In-Situ Fabrication of  $\text{Al}_3\text{V}/\text{Al}_2\text{O}_3$  Nanocomposite through Mechanochemical Synthesis and Evaluation of Its Mechanism", Advanced Powder Technology, Vol. 24, pp. 106-112, 2013.
- [21] Omran, A. N. M., "Fabrication and Characterization of Al-Based In situ Composites Reinforced by  $\text{Al}_3\text{V}$  Intermetallic Compounds", Journal of Scientific Research, pp. 26-34, 2014.
- [22] Ashnagar, M., "The Study of Reaction Mechanism, Microstructure and Mechanical Properties of in-Situ Composite Produced in  $\text{Al}-\text{V}_2\text{O}_5$  System", Journal of Metallurgy and Science Engineering, Vol. 27, No 1, pp 51-64, 2016. (In Persian)

حاصل از آزمون‌های گرماسنجی، پراش پرتو ایکس، چگالی سنجی، سختی سنجی و بررسی‌های متالوگرافی نمونه‌های ساخته شده عبارتند از:

1- با افزایش دمای زینتر نمونه‌ها، میزان شدت پیک آلومینیوم کاهش یافته و شدت پیک ترکیبات بین فلزی بیشتر می‌شود.

2- با افزایش دمای زینتر نمونه‌ها، مقدار فاز  $\alpha\text{-Al}_2\text{O}_3$  تشکیل شده بیشتر می‌شود.

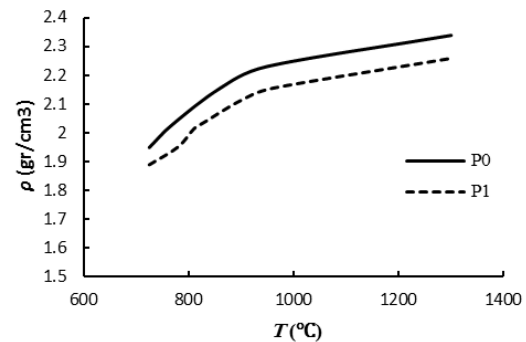


Fig. 10 Diagram of density unto temperature in tow samples

شکل ۱۰ نمودار تغییرات چگالی بر حسب دمای پخت نمونه‌ها در دو ترکیب  $P_0$  و  $P_1$

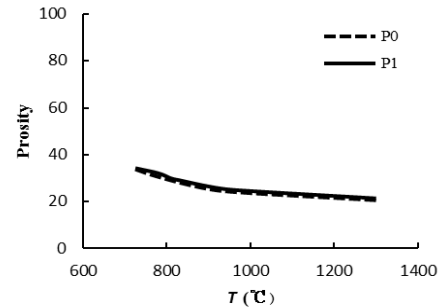


Fig. 11 Diagram of porosity in temperature for tow samples

شکل ۱۱ نمودار تغییرات درصد تخلخل بر حسب دمای پخت نمونه‌ها در دو ترکیب  $P_0$  و  $P_1$

- 3- پس از حرارت دادن نمونه  $P_0$  تا درجه حرارت  $95^{\circ}\text{C}$ ، فازهای  $\text{Al}_{23}\text{V}_4$  و  $\text{Al}_3\text{V}$  به عنوان تقویت کننده و فاز  $\alpha\text{-Al}_2\text{O}_3$  به همراه آلومینیوم اضافی ذوب شده به عنوان زمینه دیده می‌شوند.
- 4- پس از حرارت دادن نمونه  $P_1$  تا  $96^{\circ}\text{C}$ ، فازهای  $\text{Al}_2\text{V}_3$  و  $\text{Al}_3\text{V}$  به عنوان تقویت کننده و فاز  $\alpha\text{-Al}_2\text{O}_3$  به همراه آلومینیوم اضافی ذوب شده به عنوان زمینه دیده می‌شوند.
- 5- از بررسی‌های سختی و چگالی متوجه شدیم که با افزایش درجه حرارت زینترینگ، سختی و همچنین چگالی افزایش می‌یابد.

## ۵- مراجع

- [1] Razavi Hesabi, Z. Simchi, A. and Reihani, S. M. S., "Structural Evolution during Mechanical Milling of Nanometric and Micrometric  $\text{Al}_2\text{O}_3$  Reinforced Al Matrix Composites", Materials Science and Engineering A, Vol. 428, pp.159-168, 2006.
- [2] Durai, T. G. and Das, K., "Synthesis and Characterization of Al Matrix Composites Reinforced by in Situ Alumina Particulates", Materials Science and Engineering A, Vol. 445-446, pp. 100-105, 2007.

- [23] Ashnagar, M., "Production of Al/ ( $\text{Al}_2\text{O}_3+\text{Al}_{xy}$ ) Composite", Journal of Science and Ceramic Engineering, Vol. 2, No 3, pp 57-72, 2014. (In Persian)
- [24] Delgado, J., "Standard Test Method for Water Absorption, Bulk Density, Apparent Porosity, and Apparent Specific Gravity of Fired Whiteware Products", ASTM C373-88, 2006.
- [25] Zhu, H. and et al., "The Reaction Mechanism and Mechanical Properties of The Composites Fabricated in an  $\text{Al}-\text{ZrO}_2-\text{C}$  System", Materials Science and Engineering A, Vol. 527, pp. 6178-6183, 2010.
- [26] Metals Handbook, American Society for Metals, Vol. 3, p 282 and 1262. 1992.
- [27] Mirarabshahi, F., "Investigation of Reaction Mechanism, Structure and Mechanical Properties of the in-Situ Composites Produced in  $\text{Al}-\text{V}_2\text{O}_5-\text{NiO}$  System", Journal of Fundamental Metal For Engineering, Vol 35, No 4, pp 69-81, 2017. (In Persian)
- [28] Yang, H. McCormic, P. G., "Mechanochemical reduction of  $\text{V}_2\text{O}_5$ ", Journal of solid state chemistry, Vol. 110, pp. 136-141, 1994.
- [29] Sahra Nejad, N., "Study Important Factors for Production and Properties of  $\text{Al}-\text{Al}_2\text{O}_3$  Composite", Journal of Iran Ceramic, Vol 18, pp 35-57, 2010. (in Persian)